

図21 海域エアガンによる典型的発震記録(2)



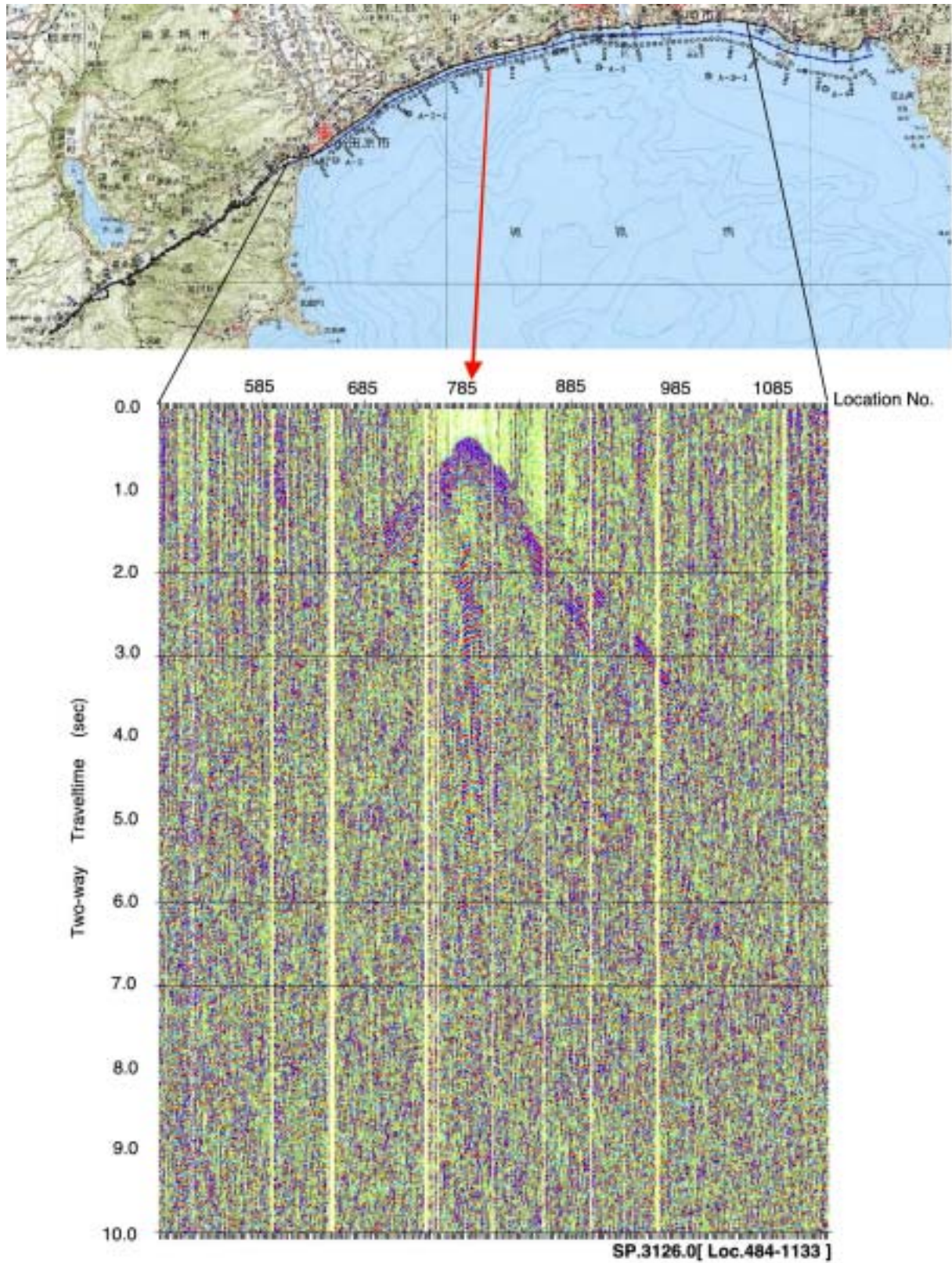


図22 海域エアガンによる典型的発震記録(3)



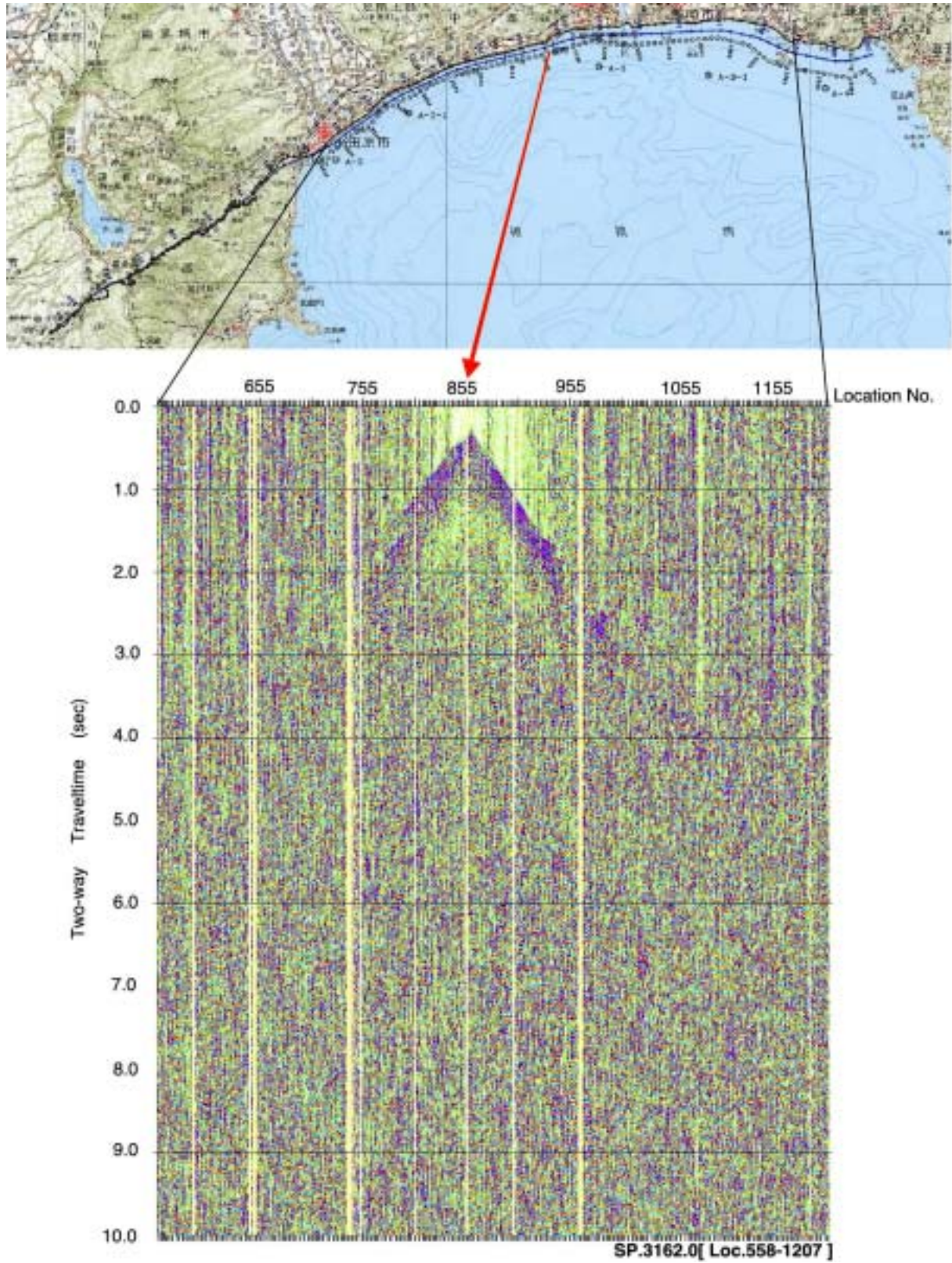


図23 海域エアガンによる典型的発震記録(4)



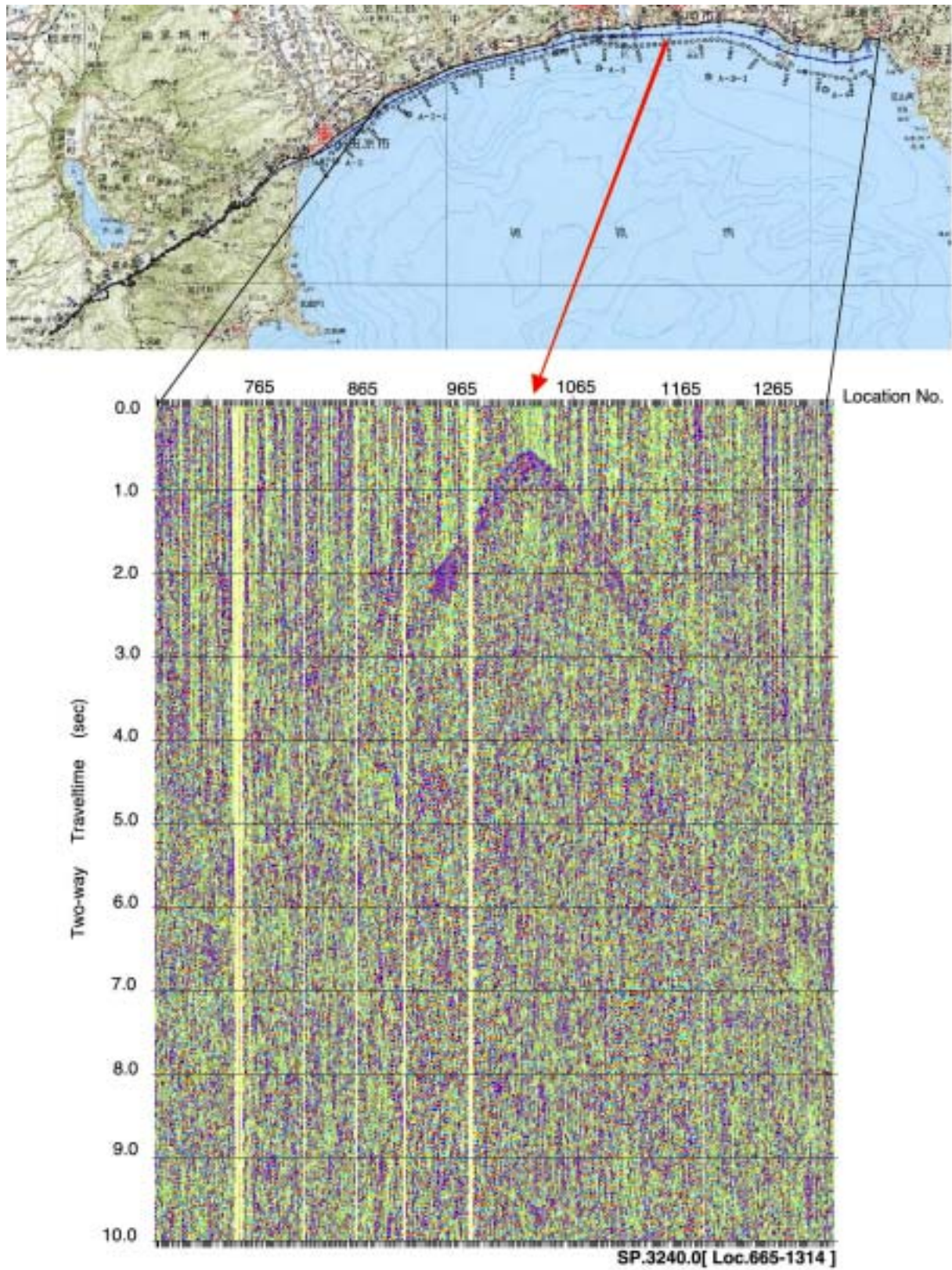


図24 海域エアガンによる典型的発震記録(5)



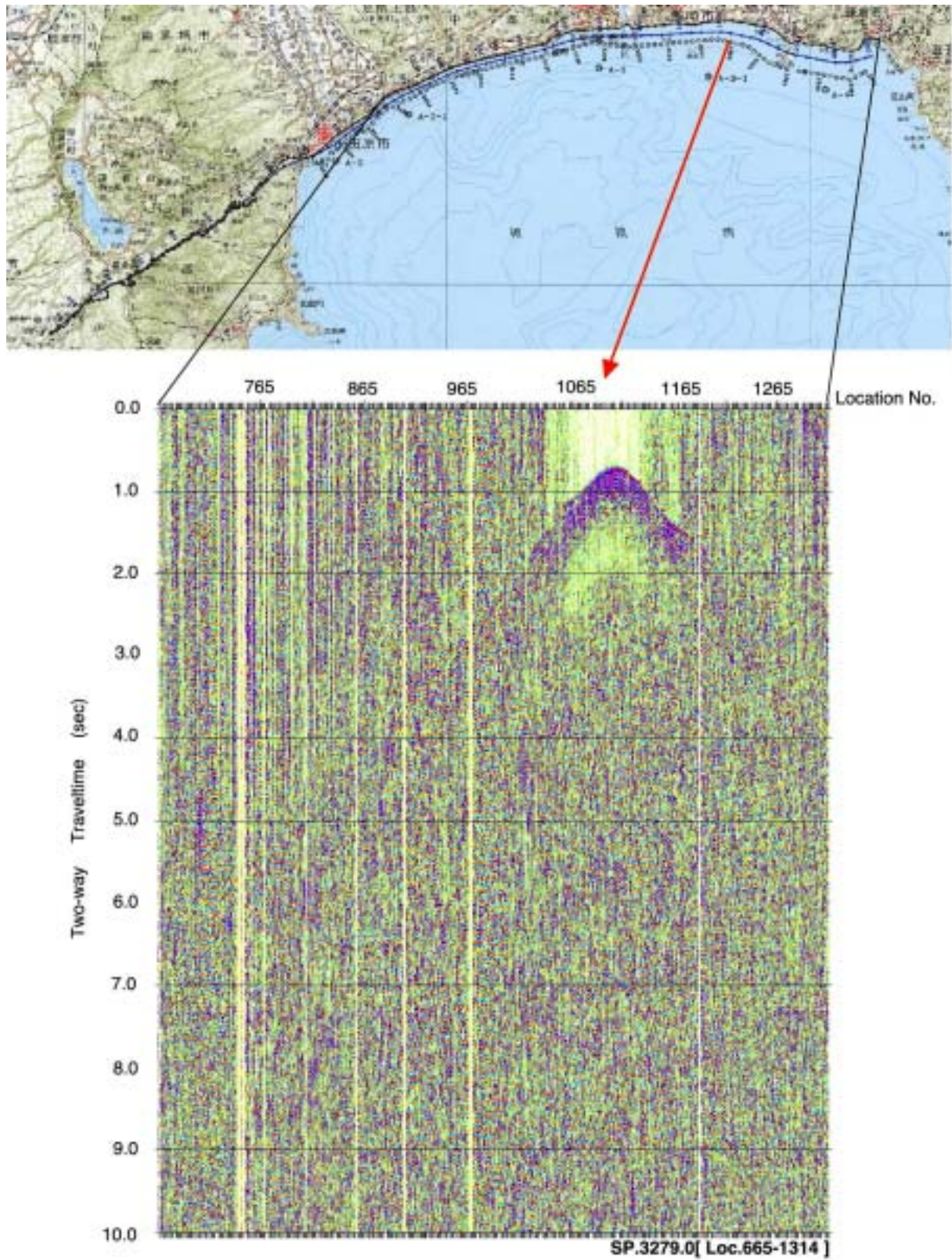


図25 海域エアガンによる典型的発震記録(6)



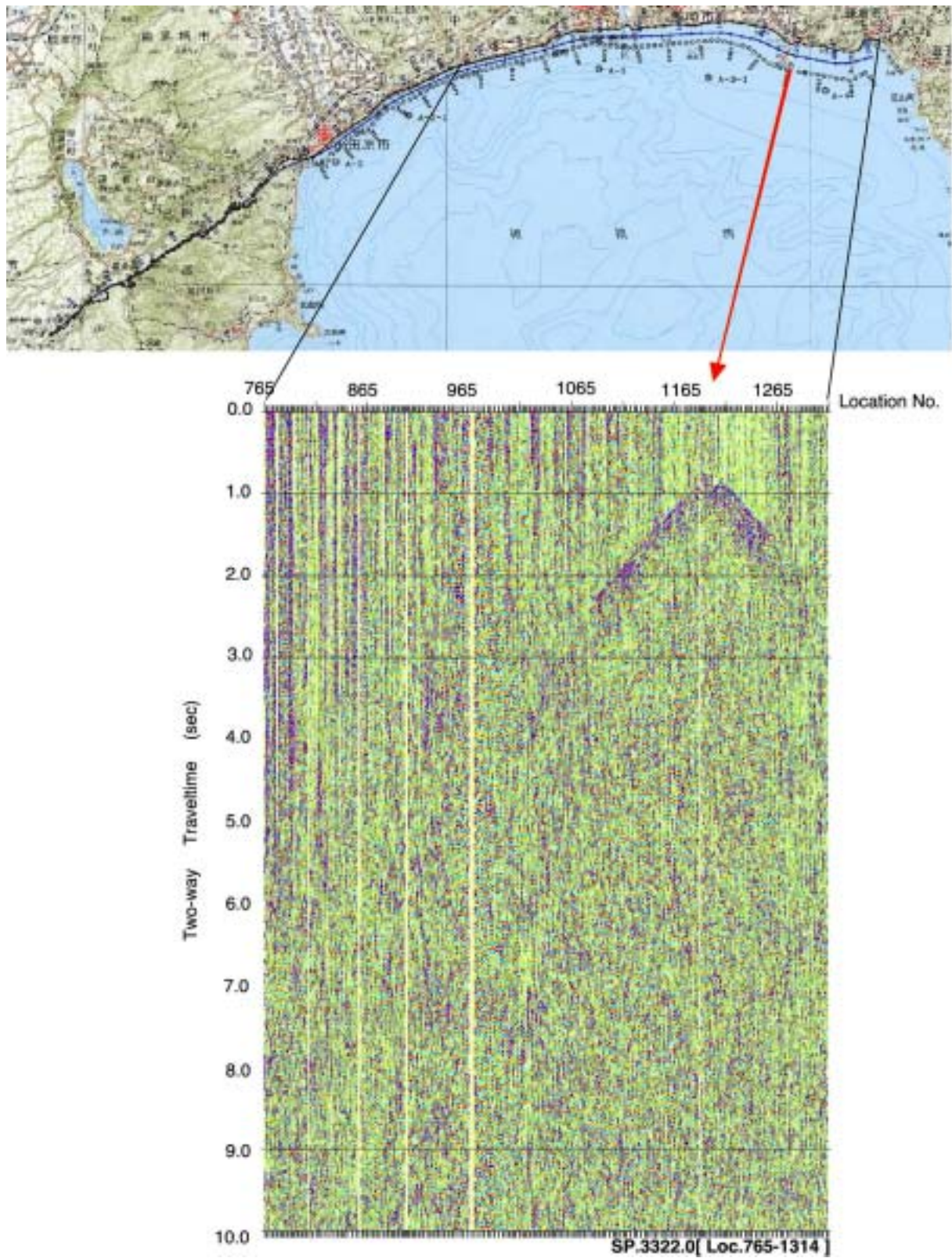


図26 海域エアガンによる典型的発震記録(7)

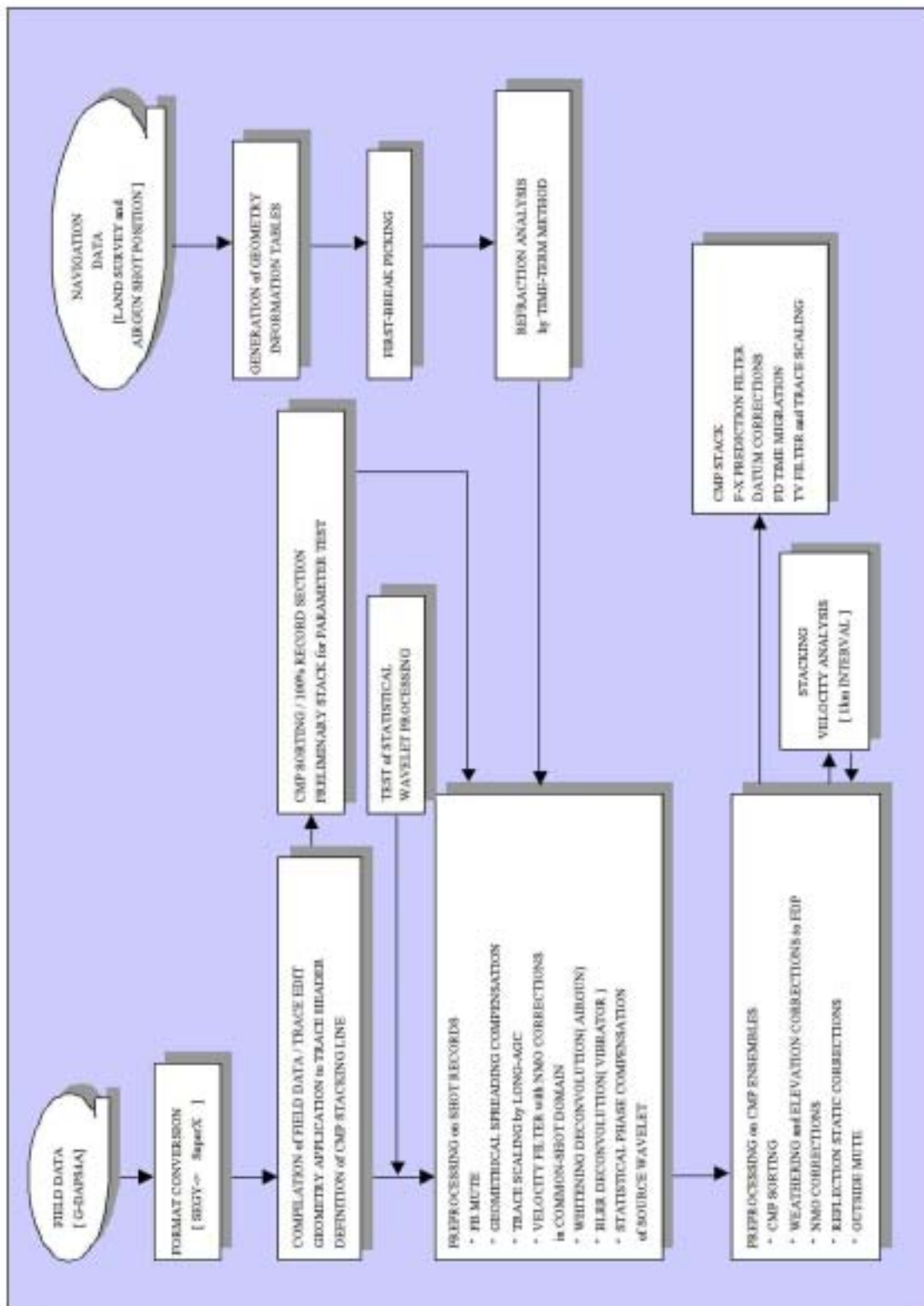


図 27 反射法地震探査データ処理フロー



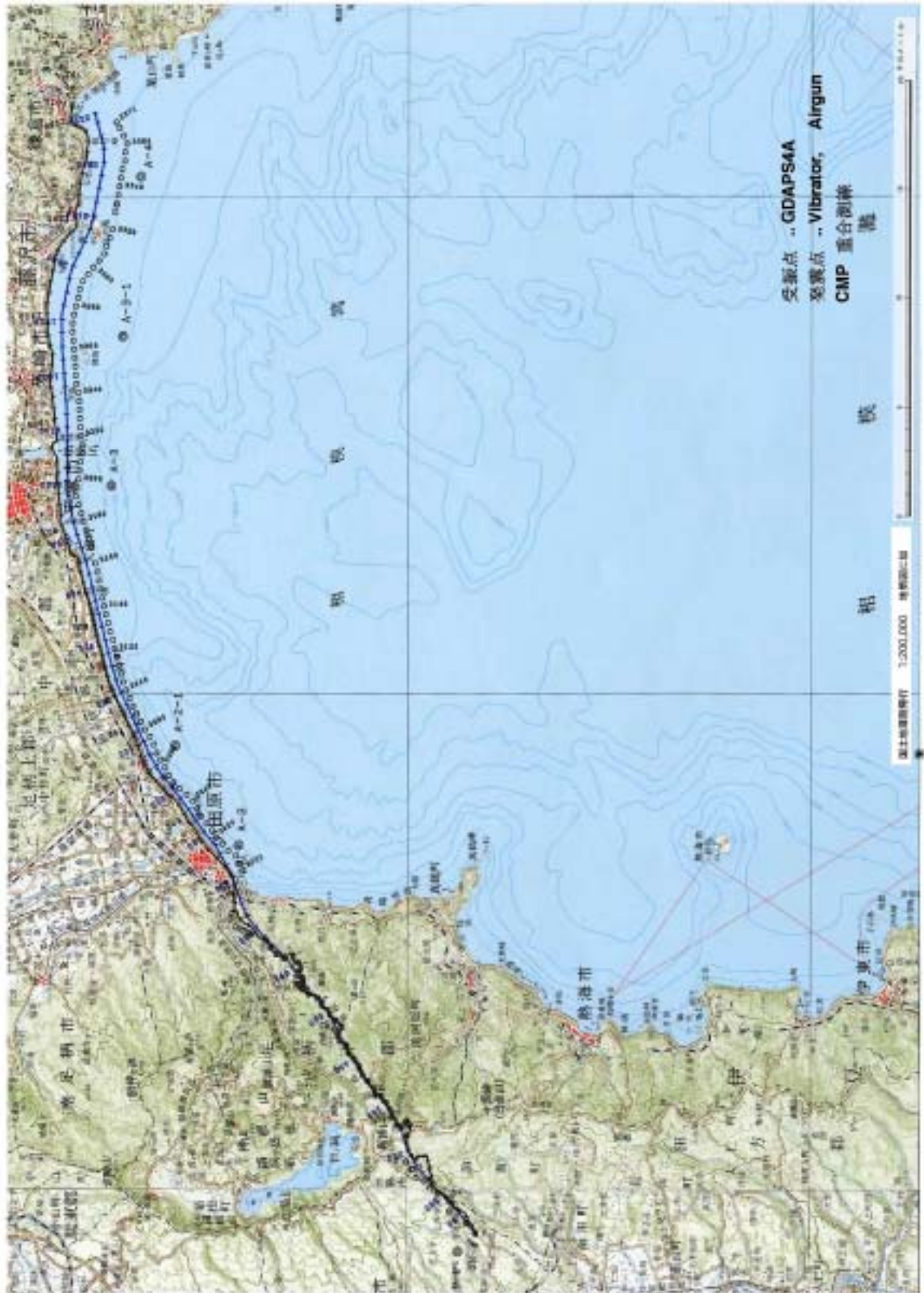


図 28 相模 2003 重合測線図



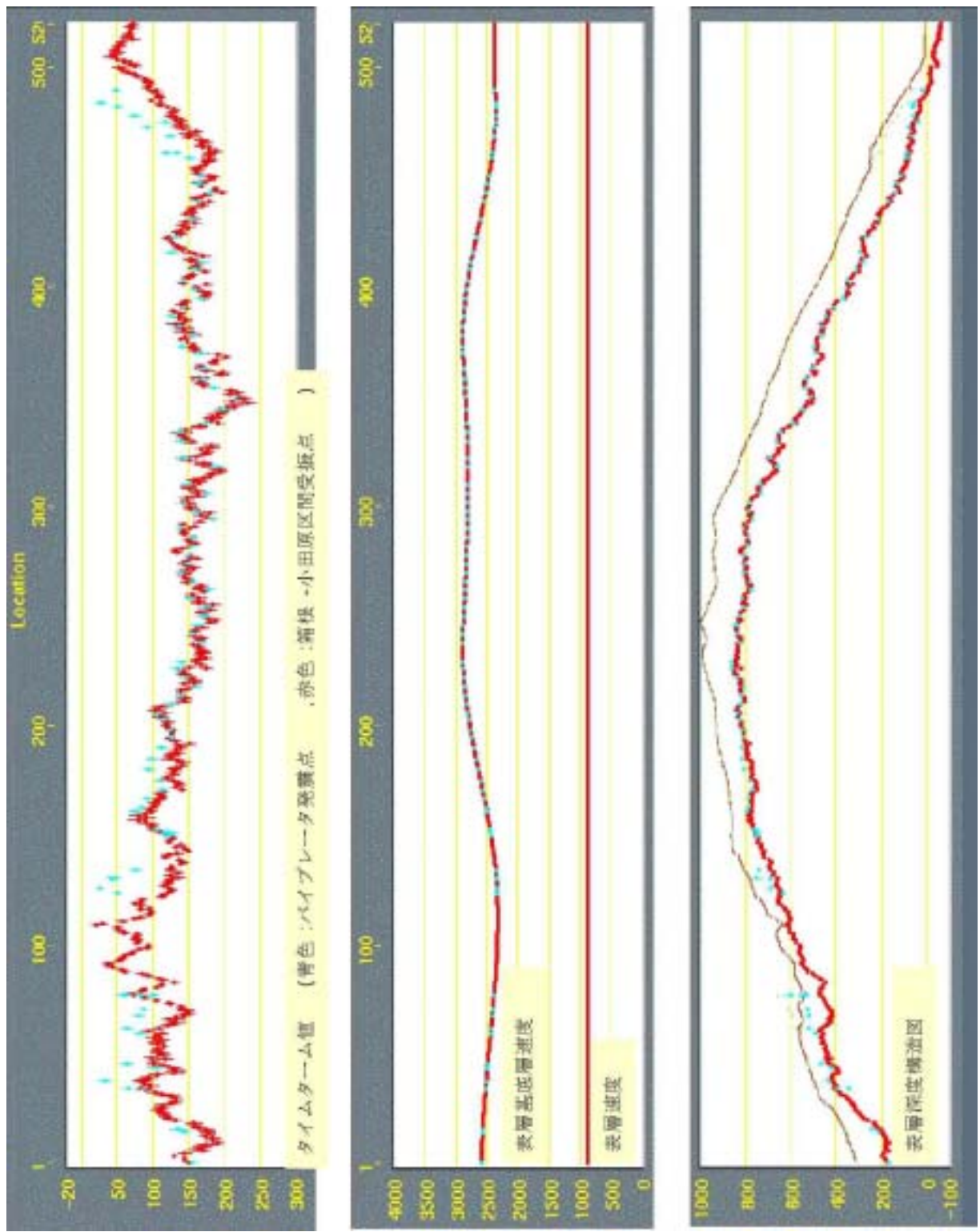


図 29 Time-Term 法による相模 2003 箱根火山南麓のバイブレータ発震区間の表層速度構造 (上) Time-Term 値, (中) 表層仮定速度に対応した表層基底層速度、(下) 表層深度構造

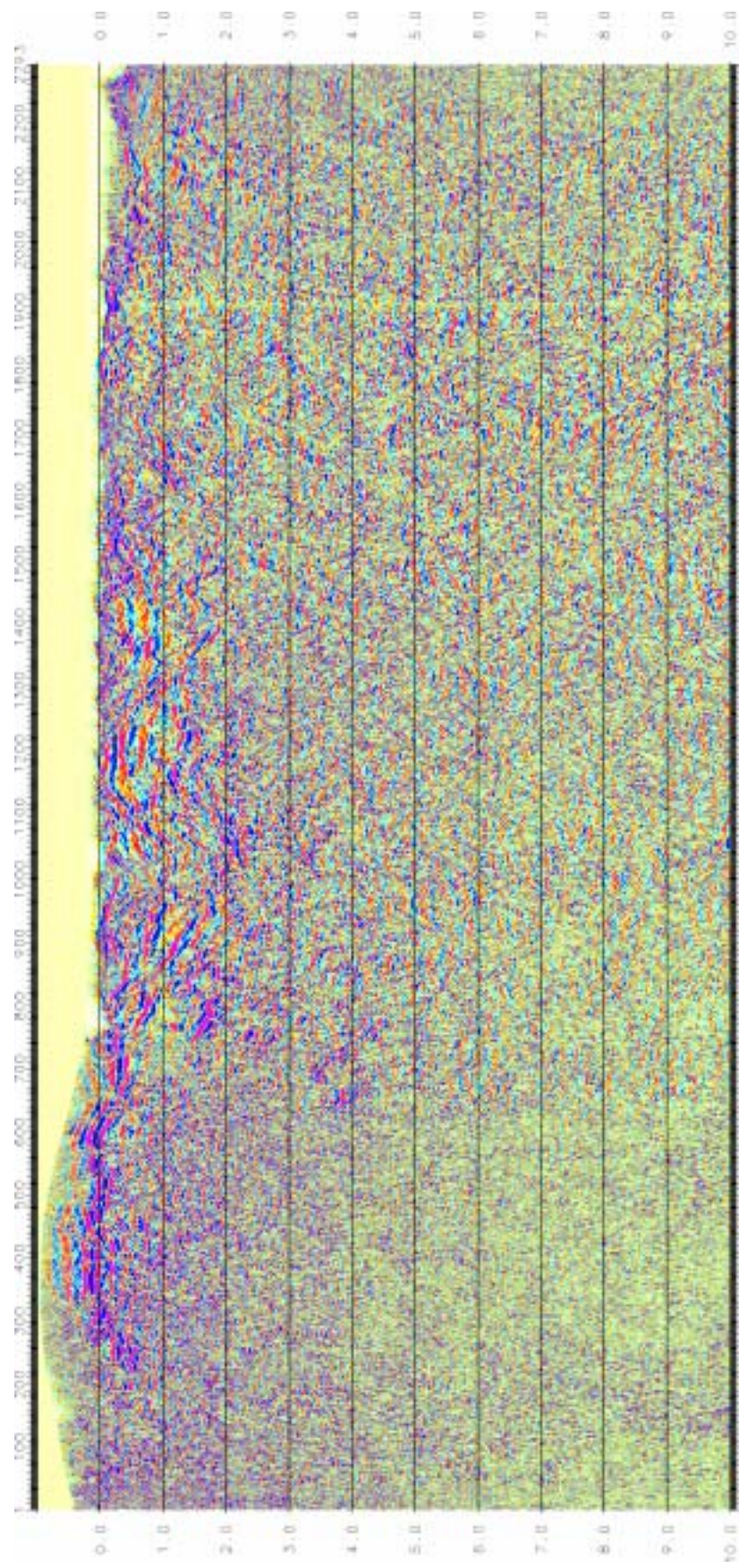


图 30 重合断面图



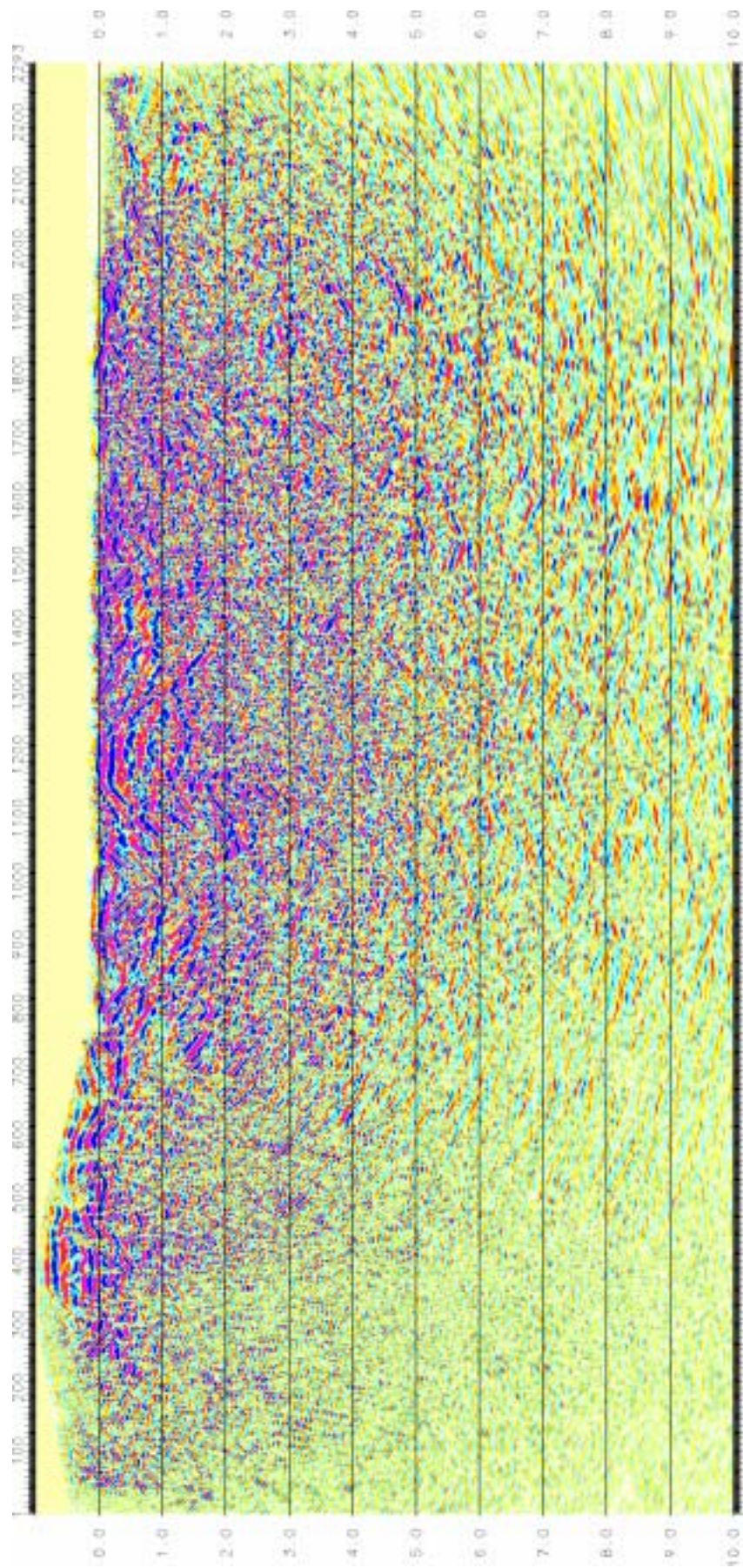


図 31 マイグレーション後重合断面



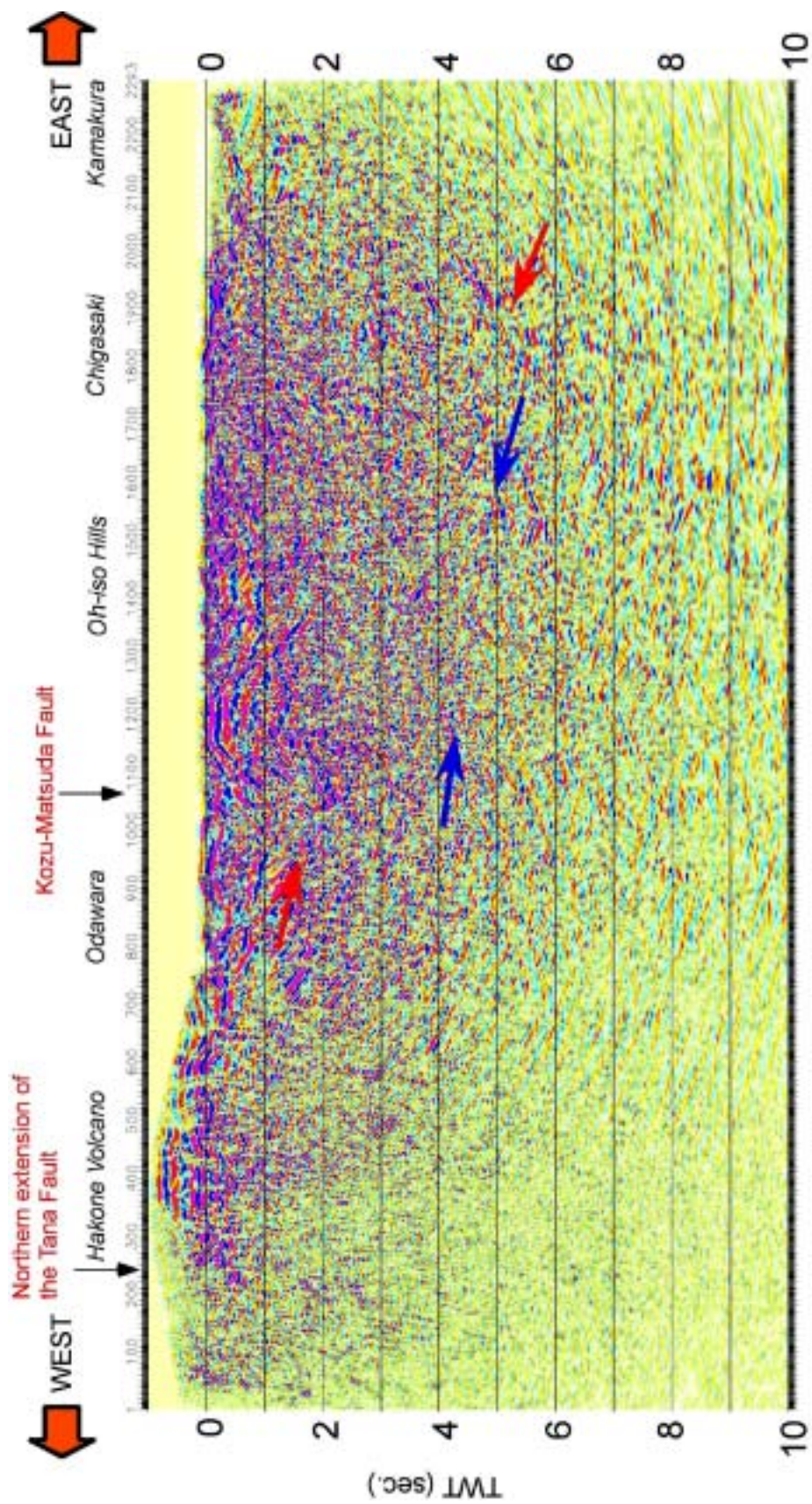


図 32 マイグレーション時間断面での顕著な反射層



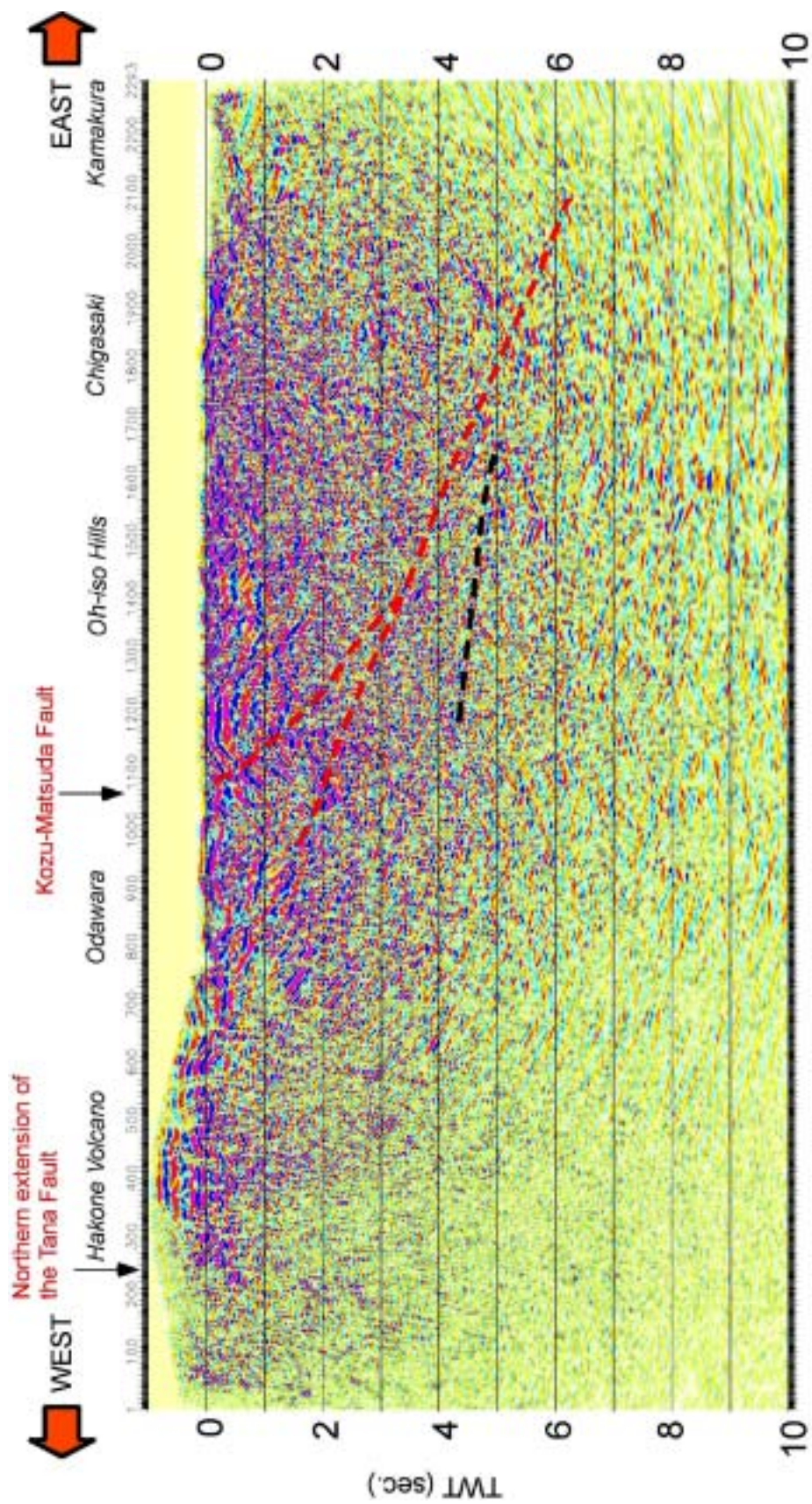


図 33 相模 2003 マイグレーション時間断面の暫定的地学的解釈